

П.Д. Жеманюк, к.т.н., технический директор, В.В. Клочихин, Н.А. Лысенко, инженеры (АО «Мотор Сич»), В.В. Наумик, д.т.н., профессор (Запорожский национальный технический университет), г. Запорожье, Украина

# Комплексное влияние технологических операций на структуру и свойства отливок из жаропрочного никелевого сплава

*Изучено комплексное влияние технологических операций термовременной обработки расплава (ТВО), модицирования ультрадисперсными частицами (УДП) карбонитрида титана Ti(C,N) и последующего горячего изостатического прессования (ГИП) на структуру и свойства отливок и образцов из жаропрочного никелевого сплава ЖС3ДК-ВИ после стандартной термической обработки. По результатам проведенных исследований разработана комплексная технология изготовления ответственных отливок из жаропрочных никелевых сплавов.*

**Ключевые слова:** термовременная обработка расплава, модицирование, ультрадисперсные частицы, горячее изостатическое прессование, термообработка, структурная однородность, пластичность, прочность, жаропрочность, микропоры, усадочные рыхлоты.

*Досліджено комплексний вплив технологічних операцій термочасової обробки розплаву (ТЧО), модифікування ультрадисперсними частками карбонітриду титану Ti(C,N) та наступного горячого ізостатичного пресування (ГІП) на структуру і властивості вилівків та зразків з жароміцького никелевого сплаву ЖС3ДК-ВІ після стандартної термічної обробки. За результатами проведених досліджень розроблено комплексну технологію виготовлення відповідальних вилівків з жароміцьких никелевих сплавів.*

**Ключові слова:** термочасова обробка, модифікування, ультрадисперсні частки, гаряче ізостатичне пресування, термообробка, структурна однорідність, пластичність, міцність, жароміцність, мікропори, усадкові рихлоти.

*It is studied the complex influence of technological operations of fusion thermal-time treatment (TTT), retrofitting by ultra disperse particles (UDP) of carbonitride of titan Ti(C,N) and subsequent hot isostatic pressing (HIP) on a structure and properties of casts and specimens of the heatproof nickel alloy ЖС3ДК-ВИ after standard heat treatment. On results the conducted researches complex technology of making of the responsible heatproof nickel alloys casts is developed.*

**Keywords:** thermal-time treatment of fusion, retrofitting, ultra disperse particles, hot isostatic pressing, heat treatment, structural homogeneity, plasticity, strength, heat resistance, micro pores, shrink friables.

**И**зготовление ответственных литых деталей из жаропрочных никелевых сплавов требует разработки новых технологических и металлургических процессов, обеспечивающих улучшение комплекса эксплуатационных характеристик.

Одним из важных направлений таких разработок является обеспечение повышенной чистоты и однородности расплавов в процессе литьевых технологических переделов, а, следовательно, и материала готовых литых изделий.

Известно, что свойства материалов во многом зависят от структурного строения материала на мезо- и макроуровнях. Так, в металлургии и литьевом производстве установлено, что стали и сплавы с мелкокристаллической структурой обладают рядом преимуществ конструкционных и технологических свойств перед стальми и сплавами с крупнокри-

сталлической структурой. Одним из перспективных направлений получения сплавов с мелкокристаллической структурой является модицирование их нерасторимыми ультрадисперсными порошками (УДП). При применение нанотехнологии позволяет получать материалы с принципиально улучшенными свойствами, многократно повышать эффективность процессов [1, 2].

Литые детали горячего тракта авиационных двигателей, изготавливаемые из жаропрочных никелевых сплавов, характеризуются сложной конфигурацией и часто отбраковываются по причине наличия внутренних несплошностей усадочного характера.

Эффективным способом исправления внутренних дефектов ответственных отливок из алюминиевых, титановых и жаропрочных никелевых сплавов является метод горячего изостатического прессо-

вания (ГИП), сущность которого состоит во всестороннем сжатии отливок специальными жидкостями или газами при высоких температурах [3].

Последующая термическая обработка позволяет снять остаточные напряжения и повысить пластичность материала при сохранении уровня прочностных свойств [4, 5].

## Методика исследований

Исследовали образцы из жаропрочного никелевого сплава ЖС3ДК-ВИ, изготовленные по следующим вариантам комплексных технологических процессов:

- 0 – по серийной технологии;
- 1 – по серийной технологии с последующим горячим изостатическим прессованием (ГИП);
- 2 – с применением предварительной термовременной обработки расплава (ТВО);
- 3 – с применением предварительной термовременной обработки

расплава (ТВО) после горячего изостатического прессования (ГИП);

4 – с применением предварительной термовременной обработки расплава (ТВО) и модификации ультрадисперсными частицами карбонитрида титана  $Ti[Ti(C,N)]$ ;

5 – с применением предварительной термовременной обработки расплава (ТВО) и модификации ультрадисперсными частицами карбонитрида титана  $Ti[Ti(C,N)]$  после горячего изостатического прессования (ГИП).

Все опытные образцы подвергали термической обработке по стандартному режиму (гомогенизация при  $1210 \pm 10$  °С в течение 4 часов в вакууме).

Исходный сплав был получен на АО «Мотор – Сич» на установке FM 1-2-100 фирмы «ULVAC».

Плавки по изготовлению опытных образцов проводили в печи УППФ-3М при температуре  $1570 \pm 10$  °С.

При выплавке по вариантам 2, 3, 4 и 5 сплав подвергали термовременной обработке (ТВО) при температуре 1800 °С в течение 6 минут.

Заливку расплава осуществляли при температуре  $1540 \pm 10$  °С в полученные по выплавляемым моделям керамические формы, нагретые до температуры  $810 \pm 40$  °С.

Согласно вариантам 4 и 5 сплав ЖСЗДК-ВИ модифицировали ультрадисперсными частицами (УДП) карбонитрида титана  $[Ti(C,N)]$  в количестве 0,05 % по массе.

Для присадки модifikатора использовали таблетки на основе титана  $Ti[Ti(C,N)]$ . Содержание компонентов в таблетке составляли следующее соотношение: Ti – 90%;  $Ti(C,N)$  – 10%. Присадку таблеток  $Ti[Ti(C,N)]$  осуществляли при температуре 1650 °С с выдержкой от 1 мин. 55 с. до 2 мин. 45 с.

Образцы, изготовленные по вариантам 1, 3 и 5, подвергали операции горячего изостатического прессования (ГИП).

Процесс горячего изостатического прессования проводили по следующему режиму:

- начальное давление в СВД – 38 МПа;
- нагрев от комнатной температуры до  $1040 \pm 10$  °С со скоростью 8...10 °С/мин;
- выдержка при температуре  $1040 \pm 10$  °С – 1,5 часа;
- давление в СВД при температуре 1040 °С – 120 МПа;
- нагрев до температуры  $1210 \pm 10$  °С со скоростью – 4°/мин.;
- выдержка при температуре  $1210 \pm 10$  °С – 2 часа;
- давление в СВД при температуре 1210 °С – 160 МПа;
- охлаждение отливок до тем-

пературы 300 °С со скоростью 26 °/мин.

#### Результаты исследований

Химический состав опытных вариантов образцов из сплава ЖСЗДК-ВИ представлен в табл. 1.

Из данных, приведенных в табл. 1, видно, что содержание элементов в исследуемых образцах, в основном, соответствует требованиям ОСТ 1.90126-85. При этом следует отметить, что в образцах, модифицированных  $Ti[Ti(C,N)]$ , содержание титана примерно на 11% превышает уровень требований ОСТ.

На рис. 1 показано макрофрактографическое строение изломов образцов из сплава ЖСЗДК-ВИ, полученного по различным вариантам.

Макроструктуру выявляли методом химического травления в реактиве, состоящем из 80% HCl и 20%  $H_2O_2$  (рис. 2).

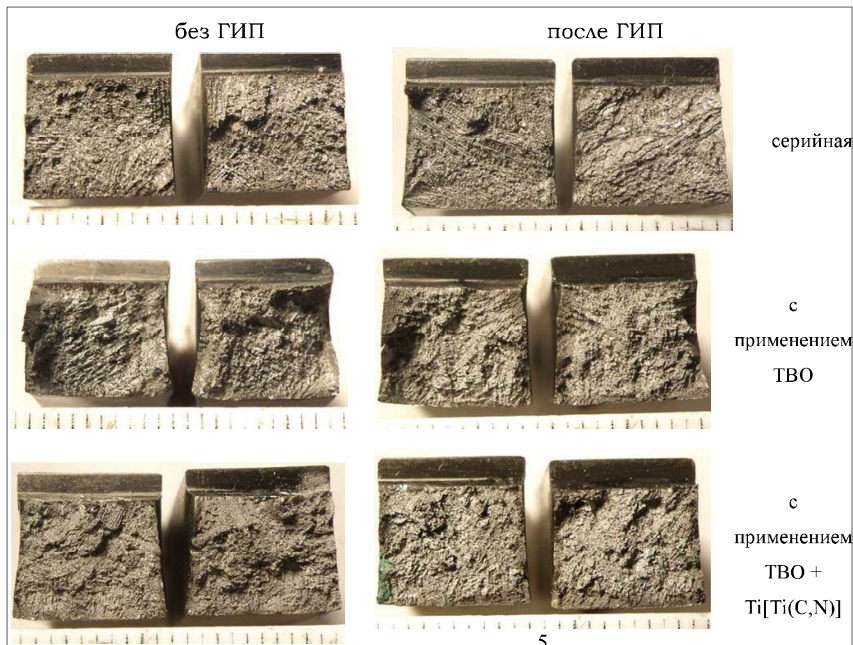


Рис. 1. Строение изломов опытных образцов из сплава ЖСЗДК-ВИ  $\times 2$

Таблица 1. Химический состав опытных вариантов сплава ЖСЗДК-ВИ

Вариант	Содержание элементов, %; Ni - остальное									
	C	Cr	Co	W	Al	Ti	Mo	Fe	Si	Mn
0	0,068	11,78	9,55	4,28	4,54	3,05	4,26	< 2,0	< 0,4	< 0,4
1	0,071	11,92	9,62	4,21	4,53	3,07	4,23	< 2,0	< 0,4	< 0,4
2	0,060	11,60	9,56	4,30	4,48	3,06	4,27	< 2,0	< 0,4	< 0,4
3	0,077	11,55	9,66	4,23	4,60	3,20	4,24	< 2,0	< 0,4	< 0,4
4	0,067	11,44	9,55	4,29	4,67	3,42	4,27	< 2,0	< 0,4	< 0,4
5	0,070	11,41	9,63	4,32	4,60	3,49	4,26	< 2,0	< 0,4	< 0,4
Нормы ОСТ 1.90126-85	0,06-0,11	11,0-12,5	8,0-10,0	3,8-4,5	4,0-4,8	2,5-3,2	3,8-4,5	≤ 2,0	≤ 0,4	≤ 0,4

Установлено, что проведение термовременной обработки расплава (ТВО) способствует некоторому укрупнению макрозерна (рис. 2, варианты 2 и 3), а модифицирование карбонитридными частицами Ti(C,N) приводит к измельчению зерна (рис. 2, варианты 4 и 5, табл. 2).

Физико-механические свойства определяли на отдельно отлитых пальчиковых образцах ( $\varnothing = 12$  мм) после их термической обработки по стандартному режиму (гомогенизация при температуре 1210 °С с выдержкой 3,5 часа и охлаждением на воздухе).

Результаты испытаний механических свойств при комнатной температуре и жаропрочных – при температуре 850 °С и напряжении 35 кгс/мм<sup>2</sup> представлены в табл. 3.

Из данных, представленных в табл. 3, видно, что механические и жаропрочные свойства исследованных образцов (за исключением варианта 2), удовлетворительные и отвечают требованиям ОСТ 1.90126-85.

Наиболее оптимальное сочетание прочностных ( $\sigma_e$ ) и пластических ( $\delta$ ,  $\Psi$ ,  $KCU$ ) характеристик, а также длительной прочности при

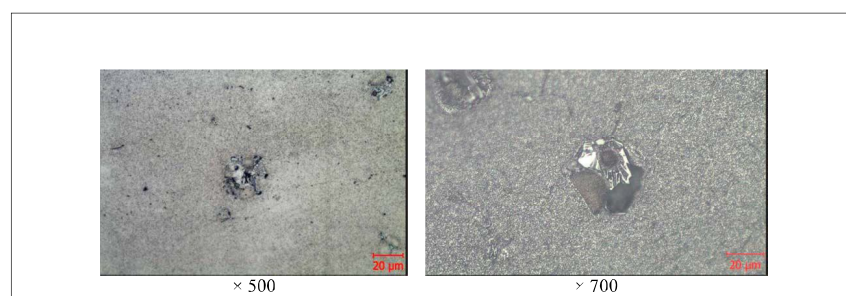
температуре 850 °С и нагрузке 35 кгс/мм<sup>2</sup>, характеризующееся стабильностью результатов испытаний, получено на образцах, модифицированных Ti(C, N) (варианты 4 и 5).

Металлографическим исследованием в материале образцов, изготовленных по варианту 2, выявлены структуры, характерные для состояния сплава ЖСЗДК-ВИ, перегретого в процессе термической обработки (рис. 3), что, видимо, явилось причиной снижения значений предела прочности ( $\sigma_e$ ) и длительной прочности (время до разрушения  $\tau_p$ ). Образование структур перегрева, вероятно, обусловлено

снижением температуры солидус в результате проведения ТВО при температуре 1800 °С в течение 6 минут.

При этом в образцах варианта 3 после газостатирования по выше указанному режиму при температуре 1210 °С и давлении 160 МПа, микроструктура материала после проведения последующей стандартной термообработки соответствует сплаву ЖСЗДК-ВИ в нормально термообработанном состоянии без перегрева (рис. 4).

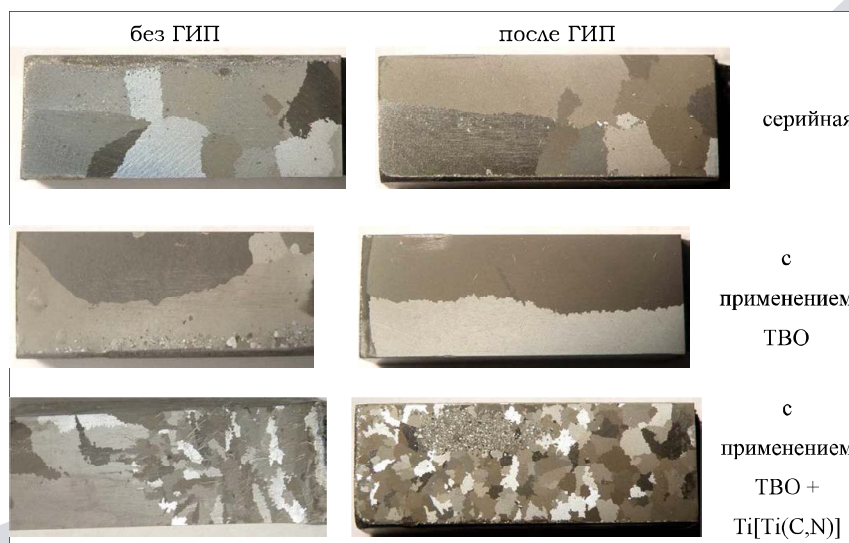
Микроструктура образцов, изготовленных по серийной технологии (варианты 0 и 1), а также после модифицирования частицами



**Рис. 3. Микроструктура образцов из сплава ЖСЗДК-ВИ, изготовленных по варианту 3 (с применением ТВО после ГИП)**

**Таблица 2. Размер макрозерна, мм образцов Ø12 мм из опытных вариантов сплава ЖСЗДК-ВИ**

0	1	2	3	4	5
3,0...8,5	2,5...13,5	3,0...18,0	~ 26,0	0,5...3,0 (единичные кристаллы до 7 мм)	0,5...2,0 (мелкие частицы ~0,07 мм)



**Рис. 2. Макроструктура опытных образцов из сплава ЖСЗДК-ВИ; × 2**

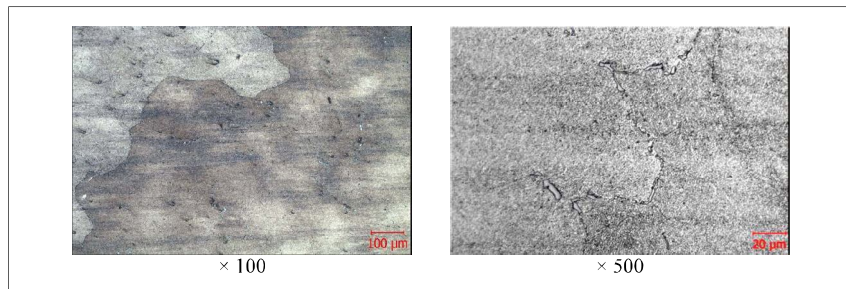
Ti(C,N) (варианты 4 и 5), как до, так и после газостатирования, удовлетворительная для сплава ЖСЗДК-ВИ в нормально термообработанном состоянии (рис. 5).

В материале образцов, изготовленных по вариантам 4 и 5 обнаружены включения нитридов и карбонитридов (рис. 6), размеры которых составляют 3...12 мкм (табл. 4). В немодифицированном металле нитридные включения встречаются редко, и размер их не превышает 2 мкм (табл. 4).

В образцах, полученных без проведения операции газостатирования (варианты 0, 2 и 4) обнаружены микропоры, а также усадочные рыхлоты размером до 30 мкм (табл. 4; рис. 7).

Проведение операции горячего изостатического прессования (варианты 1, 3 и 5) способствует «заличиванию» усадочных дефектов. В структуре исследованных лопаток после ГИП микропоры и рыхлоты практически отсутствуют (табл. 4; рис. 8).

В серийных образцах карбиды типа МС выделяются, в основном, в виде дискретных глобуллярных



**Рис. 4. Микроструктура образцов из сплава ЖСЗДК-ВИ, изготовленных по варианту 3 (с применением ТВО после ГИП)**

частиц с наличием пластин эвтектических карбидов типа  $M_6C$  размером до 40 мкм, располагающихся преимущественно на границах зерен и в междендритных пространствах (табл. 4; рис. 9, вариант 0).

Проведение термовременной обработки расплава при температуре 1850 °С в течение 5 минут и в особенности модифицирование карбонитридами титана способствует дроблению карбидных пластин и равномерному их распределению в объеме металла (рис. 9, варианты 2 и 4).

Расстояние между осями дендритов второго порядка в образцах, отлитых по серийной технологии, а также с проведением ТВО примерно на 20 % больше, чем в модифицированных образцах (табл. 4).

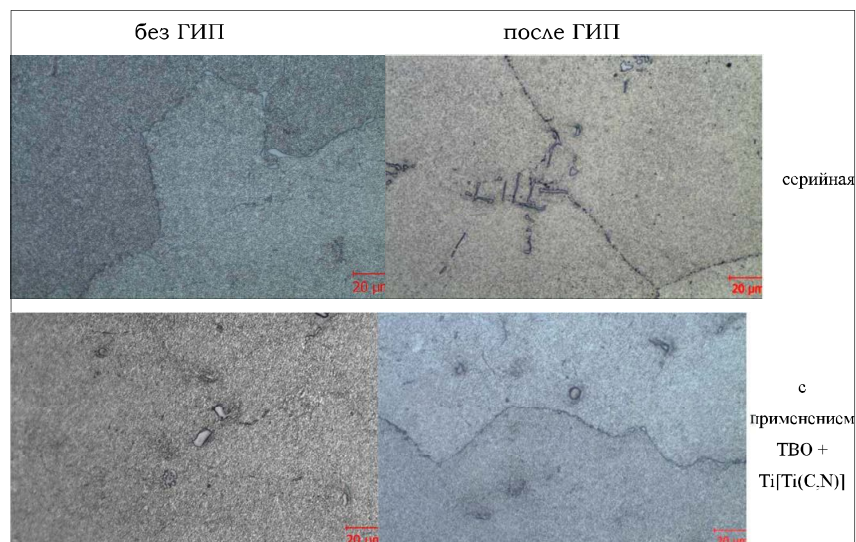
#### Выводы

1. Химический состав опытных образцов из сплава ЖСЗДК-ВИ, изготовленных по различным вариантам, в основном, соответствует требованиям ОСТ 1.90126-85. При этом в образцах, модифицированных  $Ti[Ti(C,N)]$  (варианты 4 и 5), содержание титана примерно на 11 % превышает уровень требований ОСТ.

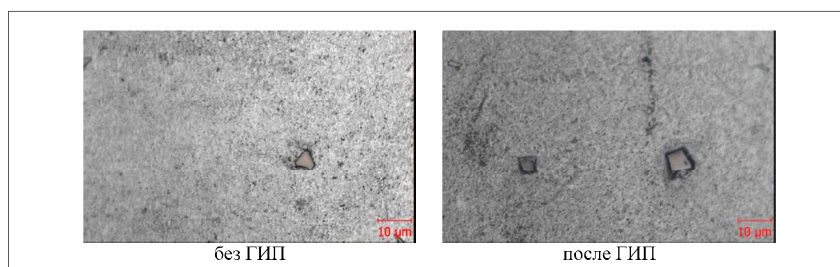
2. Проведение термовременной обработки расплава (ТВО) способствует некоторому укрупнению макрозерна (варианты 2 и 3), а модифицирование карбонитридными частицами  $Ti(C,N)$  (вариант 5) – приводит к измельчению зерна.

3. Механические и жаропрочные свойства исследуемых образцов после различных вариантов (за исключением варианта 2), удовлетворительные и отвечают требованиям ОСТ 1.90126-85. Снижение механических ( $\sigma_e$ ) и жаропрочных (время до разрушения  $\tau_p$ ) свойств материала образцов, изготовленных по варианту 2, обусловлено наличием структур перегрева, образовавшихся в процессе термической обработки, вероятно, вследствие снижения температуры солидус в результате проведения ТВО при температуре 1800 °С в течении 6 минут.

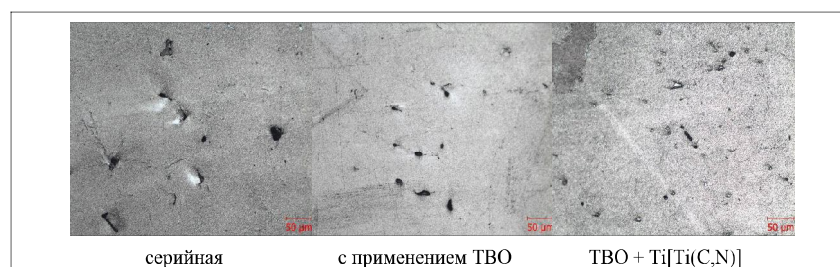
4. Наиболее оптимальное сочетание прочностных ( $\sigma_e$ ) и пластических ( $\delta$ ,  $\Psi$ ,  $KCU$ ) характеристик, а также длительной



**Рис. 5. Микроструктура образцов из сплава ЖСЗДК-ВИ, изготовленных по различным вариантам, × 500**



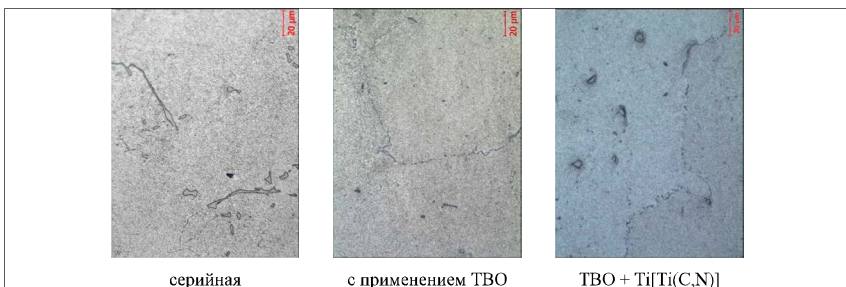
**Рис. 6. Микроструктура образцов из сплава ЖСЗДК-ВИ, модифицированного  $Ti[Ti(C,N)]$ , × 1000**



**Рис. 7. Микропористость в образцах из сплава ЖСЗДК-ВИ, изготовленных по различным вариантам без проведения операции ГИП, × 200**



**Рис. 8. Нетравленая структура образцов из сплава ЖСЗДК-ВИ, изготовленных по различным вариантам с применением операции ГИП,  $\times 200$**



**Рис. 9. Карбиды в образцах из сплава ЖСЗДК-ВИ, изготовленных по различным вариантам без применения операции ГИП,  $\times 500$**

прочности при температуре 850 °С и нагрузке 35 кгс/мм<sup>2</sup>, характеризующееся стабильностью результатов испытаний, получено на образцах, модифицированных Ti(C,N) (варианты 4 и 5).

5. Проведение операции горячего изостатического прессования способствует «заличиванию» усадочных дефектов типа пор и рыхлот.

6. По результатам проведенных исследований разработана комплексная технология, предусматривающая термовременную обработку расплава (ТВО), модификация ультрадисперсными частицами (УДП) карбонитрида титана Ti(C,N) и последующие горячее изостатическое прессование (ГИП) и термическую обработку отливок.

#### **Список литературы:**

1 Рыбкин В.А. Направления развития технологий специальных способов литья [Текст] /

**Таблица 3. Механические и жаропрочные свойства опытных образцов из сплава ЖСЗДК-ВИ после стандартной термообработки**

Вариант	Состояние материала	Механические свойства при 20 °С				Время до разрушения при 850 °С под нагрузкой 35 кгс/мм <sup>2</sup> , $\tau_p$ , час.
		$\sigma_e$ , кгс/мм <sup>2</sup>	$\delta$ , %	$\Psi$ , %	KСU, кГс·м/см <sup>2</sup>	
0	серийная без ГИП	88,1 91,4	10,4 10,8	16,2 12,4	2,25 3,50	689,0 705,0
1	серийная после ГИП	97,3 101,3	12,0 11,6	15,4 15,4	3,13 3,13	685,5 445,5
2	с применением ТВО без ГИП	82,3 87,2 80,4	18,0 1 7,6 21,2	16,1 22,8 23,5	7,50 8,50 -	16,5 30,5 20,5
3	с применением ТВО после ГИП	99,6 97,4 95,1	16,8 19,2 11,2	14,2 22,8 12,9	6,00 4,38 6,25	499,0 454,0
4	с применением ТВО + Ti[Ti(C,N)] без ГИП	97,5 108,0	12,0 14,8	16,1 15,6	7,13 4,25	784,5 1050,5
5	с применением ТВО + Ti[Ti(C,N)] после ГИП	102,0 111,7	10,4 13,6	19,7 12,6	4,75 5,75	692,0 784,0
Нормы ОСТ 1.90126-85		$\geq 95,0$	$\geq 7,0$	-	$\geq 3,0$	$\geq 50,0$

Таблица 4. Размеры структурных составляющих в опытных образцах из сплава ЖСЗДК-ВИ

Вариант	Состояние сплава	Размер карбидов, мкм		Размер нитридов, мкм	Размер микропор, мкм	Расстояние между осями дендритов 2-го порядка, мкм
		глобулярные типа МС	пластиначатые типа М6С			
0	Серийная без ГИП	2...12	12...40	~ 2 (редко)	8...30	55...90
1	Серийная после ГИП	2...10	10...32	~ 2 (редко)	-	55...90
2	с применением ТВО без ГИП	2...6	до ~ 14 (редко)	~ 2 (редко)	6...28	55...85
3	с применением ТВО после ГИП	2...10	до ~ 18 (редко)	~ 2 (редко)	-	60...85
4	с применением ТВО + Ti[Ti(C,N)] без ГИП	2...14	до ~ 10 (редко)	3...7	6...20	50...60
5	с применением ТВО + Ti[Ti(C,N)] после ГИП	2...10	до ~ 16 (редко)	3...12	-	50...60

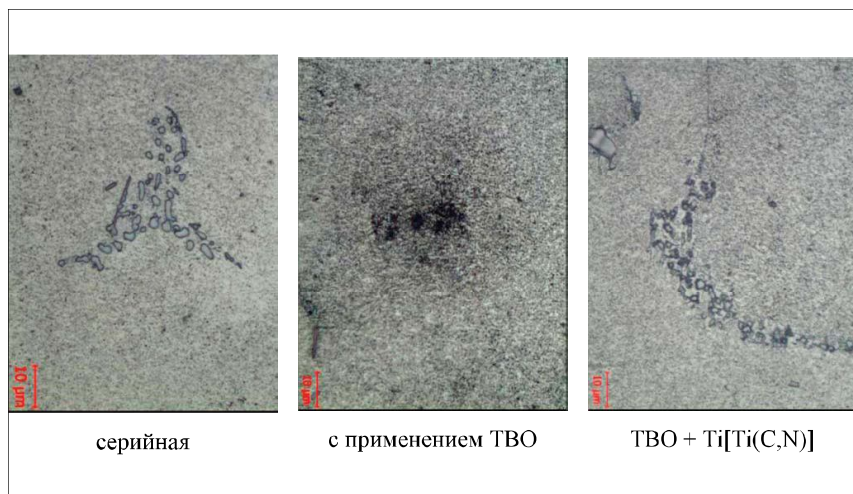


Рис. 10. Зоны «заличивания» микропор в образцах из сплава ЖСЗДК-ВИ после ГИП,  $\times 1000$

В.А. Рыбкин // Литейное производство, 2010. – № 2.

2 Инишаков О. О приорите-те государства в сфере наноин-дустрии [Текст] / О. Инишаков, А. Фесин // Экономист, 2009. – № 10.

3. Галдин Н.М. Цветное литьё: справочник [Текст] / Н.М. Галдин, Д.Ф. Чернега, Д.Ф. Иванчук и др.; под общ. ред. Н.М. Галдина. – М.: Машиностроение, 1989. – 528 с.

4. Химушин Ф.Ф. Легирова-ние, термическая обработка и свойства жаропрочных сталей и сплавов [Текст] / Ф.Ф. Химушин. – М.: Оборонгиз, 1962. – 336 с.

5. Гуляев А.П. Металловеде-ние [Текст] / А.П. Гуляев – М.: Ме-таллургиздат, 1948. – 556 с.